

Отчет по Заданию №7

Юй Чанбай

14 май 2025г.

1 Цель работы

Изучайте когнитивные характеристики мозга на основе данных ЭЭГ. В частности, необходимо обработать набор данных ЭЭГ (электроэнцефалограммы), чтобы решить проблему двух классификаций (например, сжатие левого кулака или правого кулака). При анализе набора данных непрерывное вейвлет-преобразование (CWT) и кратковременное преобразование Фурье (STFT) используются для преобразования временного сигнала ЭЭГ, а затем гибридная модель CNN-2D + LSTM и модель CNN-2D используются для обучения классификации.

2 Экспериментальный процесс

2.1 Обработка данных

Набор данных

Тренировочные данные: 400 образцов;
тестовые данные: 320 образцов; целевая маркировка: 2 категории (1-левая рука, 2-правая рука).

```
# download dataset
x_train = pd.read_csv('https://github.com/TAHforPython/BioMedAI/blob/main/test_datasets/NI_EEG_50T.csv?raw=true', header=None)
x_test = pd.read_csv('https://github.com/TAHforPython/BioMedAI/blob/main/test_datasets/NI_EEG_50E.csv?raw=true', header=None)
y_train = pd.read_csv('https://github.com/TAHforPython/BioMedAI/blob/main/test_datasets/2class_NI_EEG_train_0.csv?raw=true', header=None)
y_test = pd.read_csv('https://github.com/TAHforPython/BioMedAI/blob/main/test_datasets/2class_NI_EEG_test_0.csv?raw=true', header=None)

print(x_train.shape)
print(x_test.shape)
print(y_train.shape)
print(y_test.shape)

(400, 3000)
(320, 3000)
(400, 1)
(320, 1)
```

1 目标

基于脑电图数据研究大脑认知特征。具体而言，需要处理 EEG（脑电图）数据集，以解决二分类问题（例如握紧左拳或右拳）。分析数据集时需使用连续小波变换(CWT)与短时傅里叶变换(STFT)对时间脑电信号进行变换，之后分别使用 CNN-2D + LSTM 混合模型和 CNN-2D 模型进行分类的训练。

2 实验流程

2.1 数据处理

数据集

训练数据: 400 个样本; 测试数据: 320 个样本; 目标标签: 2 类 (1-左手, 2-右手).

```
# download dataset
x_train = pd.read_csv('https://github.com/TAHforPython/BioMedAI/blob/main/test_datasets/NI_EEG_50T.csv?raw=true', header=None)
x_test = pd.read_csv('https://github.com/TAHforPython/BioMedAI/blob/main/test_datasets/NI_EEG_50E.csv?raw=true', header=None)
y_train = pd.read_csv('https://github.com/TAHforPython/BioMedAI/blob/main/test_datasets/2class_NI_EEG_train_0.csv?raw=true', header=None)
y_test = pd.read_csv('https://github.com/TAHforPython/BioMedAI/blob/main/test_datasets/2class_NI_EEG_test_0.csv?raw=true', header=None)

print(x_train.shape)
print(x_test.shape)
print(y_train.shape)
print(y_test.shape)

(400, 3000)
(320, 3000)
(400, 1)
(320, 1)
```

Предварительная обработка сигналов

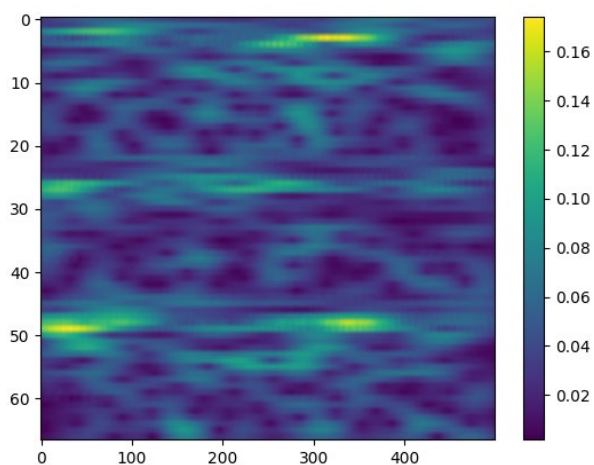


Рис1. Непрерывное вейвлет-преобразование (CWT)

信号预处理

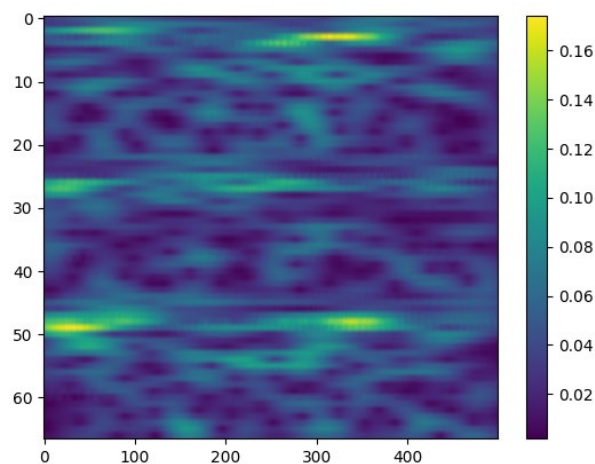


图 1. 连续小波变换 (CWT)

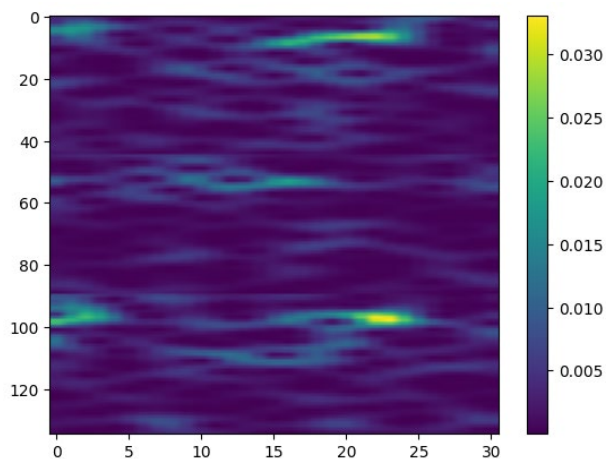


Рис2. Преобразование Фурье (STFT)

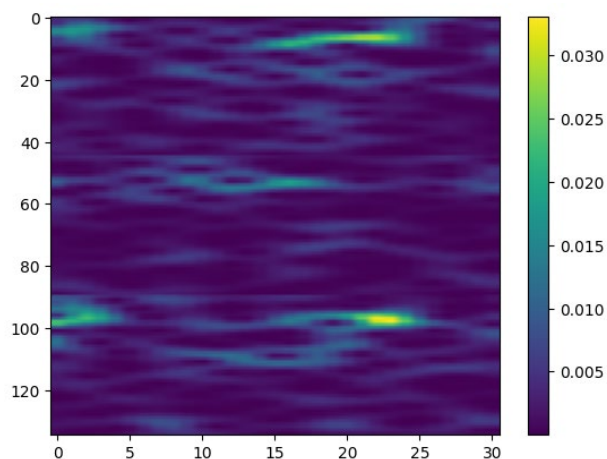


图 2. 短时傅里叶变换 (STFT)

2.2 Построение нейронной сети

Вейвлет-преобразование с использованием сети CNN-2D. Конкретная сеть состоит из 2 сверточных слоев (4 фильтра, 3×3 ядра), самого большого пула (2×2) и полностью подключенного слоя (32 нейрона). отсев=0,5. Архитектура модели показана на рисунке 3:

2.2 构建神经网络

连续小波变换使用 CNN-2D 网络，具体网络为 2 卷积层（4 个滤波器， 3×3 核），最大池（ 2×2 ），全连接层（32 个神经元）， $\text{dropout}=0.5$ 。模型架构如图 3 所示：

Model: "sequential_4"

Layer (type)	Output Shape	Param #
conv2d_8 (Conv2D)	(None, 67, 500, 4)	40
max_pooling2d_8 (MaxPooling2D)	(None, 33, 250, 4)	0
conv2d_9 (Conv2D)	(None, 33, 250, 4)	148
max_pooling2d_9 (MaxPooling2D)	(None, 16, 125, 4)	0
flatten_4 (Flatten)	(None, 8000)	0
dense_8 (Dense)	(None, 32)	256,032
dropout_4 (Dropout)	(None, 32)	0
dense_9 (Dense)	(None, 2)	66

Total params: 768,860 (2.93 MB)
Trainable params: 256,286 (1001.12 KB)
Non-trainable params: 0 (0.00 B)
Optimizer params: 512,574 (1.96 MB)

Рисунок 3. Сетевая архитектураCNN-2D

Model: "sequential_4"

Layer (type)	Output Shape	Param #
conv2d_8 (Conv2D)	(None, 67, 500, 4)	40
max_pooling2d_8 (MaxPooling2D)	(None, 33, 250, 4)	0
conv2d_9 (Conv2D)	(None, 33, 250, 4)	148
max_pooling2d_9 (MaxPooling2D)	(None, 16, 125, 4)	0
flatten_4 (Flatten)	(None, 8000)	0
dense_8 (Dense)	(None, 32)	256,032
dropout_4 (Dropout)	(None, 32)	0
dense_9 (Dense)	(None, 2)	66

Total params: 768,860 (2.93 MB)
Trainable params: 256,286 (1001.12 KB)
Non-trainable params: 0 (0.00 B)
Optimizer params: 512,574 (1.96 MB)

图 3. CNN-2D 网络

Для кратковременного преобразования Фурье используется сеть CNN-2D+LSTM. Конкретными сетями являются: TimeDistributed (слой, используемый для обработки синхронизации), LSTM (4 нейрона) и полностью подключенный слой (32 нейрона).

Model: "sequential_4"

Layer (type)	Output Shape	Param #
time_distributed_20 (TimeDistributed)	(None, 1, 135, 31, 4)	40
time_distributed_21 (TimeDistributed)	(None, 1, 67, 15, 4)	0
time_distributed_22 (TimeDistributed)	(None, 1, 67, 15, 4)	148
time_distributed_23 (TimeDistributed)	(None, 1, 33, 7, 4)	0
time_distributed_24 (TimeDistributed)	(None, 1, 924)	0
lstm_4 (LSTM)	(None, 4)	14,864
dense_8 (Dense)	(None, 32)	160
dense_9 (Dense)	(None, 2)	66

Total params: 45,836 (179.05 KB)
Trainable params: 15,278 (59.68 KB)
Non-trainable params: 0 (0.00 B)
Optimizer params: 30,558 (119.37 KB)

Рисунок 4. Сетевая архитектураCNN-2D+LSTM

Model: "sequential_4"

Layer (type)	Output Shape	Param #
time_distributed_20 (TimeDistributed)	(None, 1, 135, 31, 4)	40
time_distributed_21 (TimeDistributed)	(None, 1, 67, 15, 4)	0
time_distributed_22 (TimeDistributed)	(None, 1, 67, 15, 4)	148
time_distributed_23 (TimeDistributed)	(None, 1, 33, 7, 4)	0
time_distributed_24 (TimeDistributed)	(None, 1, 924)	0
lstm_4 (LSTM)	(None, 4)	14,864
dense_8 (Dense)	(None, 32)	160
dense_9 (Dense)	(None, 2)	66

Total params: 45,836 (179.05 KB)
Trainable params: 15,278 (59.68 KB)
Non-trainable params: 0 (0.00 B)
Optimizer params: 30,558 (119.37 KB)

图 4. CNN-2D+LSTM 网络

2.3 Обучение и оценка модели (5 итераций)

Результат CWT+CNN-2d выглядит следующим образом

Resultados:
loss: [0.442482886985779, 0.4719349443912506, 0.5195335149765015, 0.49684199690818787, 0.622015118598938]
accuracy: [0.800000011920929, 0.765625, 0.765625, 0.778124988079071, 0.71875]
kappa: [np.float64(0.4375)]
time_elapsed: 84.51700043678284

Рисунок 5.Общие результаты (CWT+CNN-2d)

2. 3 训练并评估模型（5 次迭代）

CWT+CNN-2d 结果如下所示

Resultados:
loss: [0.442482886985779, 0.4719349443912506, 0.5195335149765015, 0.49684199690818787, 0.622015118598938]
accuracy: [0.800000011920929, 0.765625, 0.765625, 0.778124988079071, 0.71875]
kappa: [np.float64(0.4375)]
time_elapsed: 84.51700043678284

图 5. 总结果 (CWT+CNN-2d)

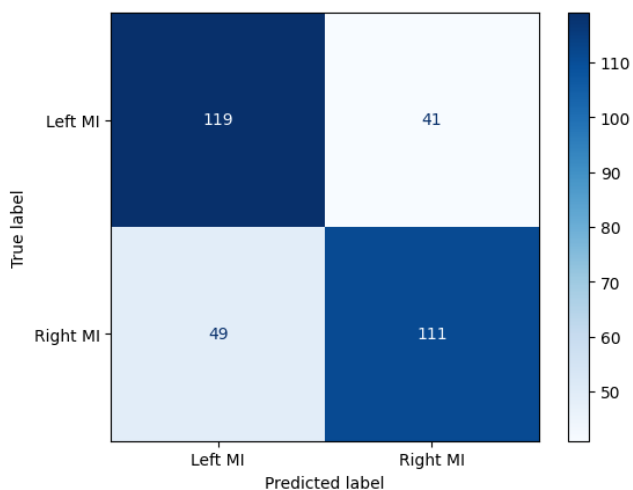


Рисунок 6. Матрица путаницы (CWT+CNN-2d)

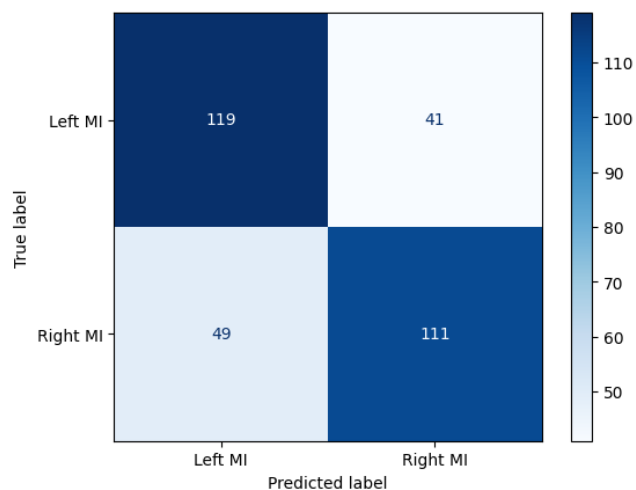


图 6. 混淆矩阵 (CWT+CNN-2d)

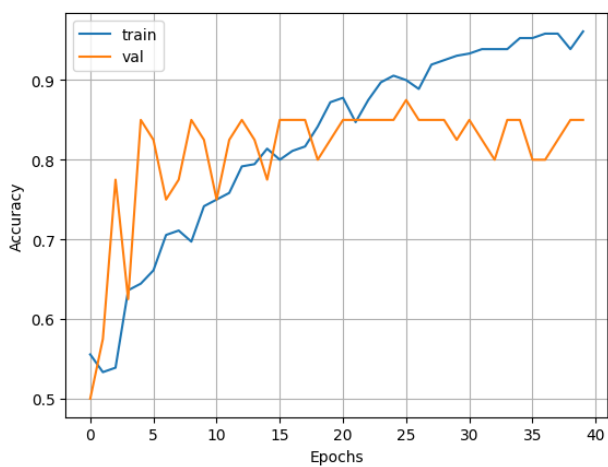


Рисунок 7. Точность (CWT+CNN-2d)

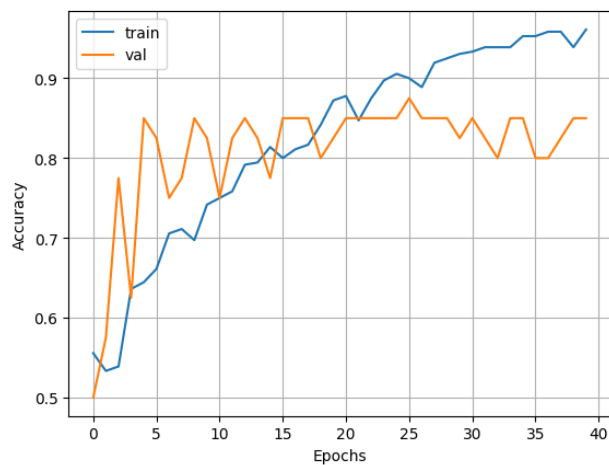


图 7. 准确性 (CWT+CNN-2d)

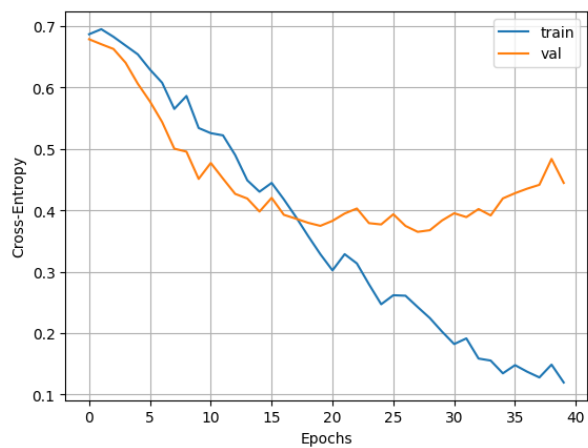


Рисунок 8. Перекрестная энтропия (CWT+CNN-2d)

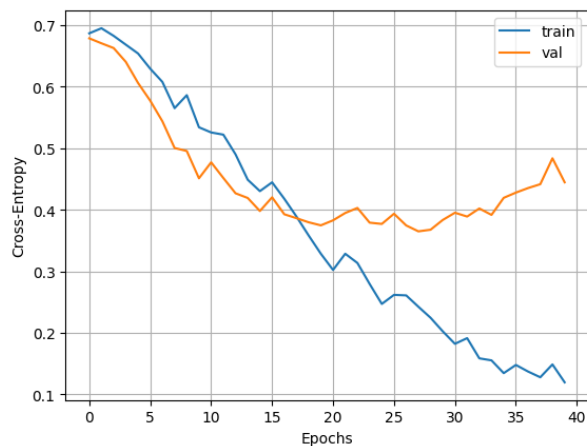


图 8. 交叉熵 (CWT+CNN-2d)

Результат STFT+CNN-2D + LSTM выглядит следующим образом

STFT+CNN-2D + LSTM 结果如下所示

Resultados:
 loss: [0.47591632604599, 0.5104565024375916, 0.4850081503391266, 0.473102867603302, 0.4563733637332916]
 accuracy: [0.778124988079071, 0.746874988079071, 0.768750011920929, 0.784375011920929, 0.784375011920929]
 kappa: [np.float64(0.525)]
 time_elapsed: 91.38204560699463

Рисунок 9. Общие результаты
(STFT+ CNN-2D + LSTM)

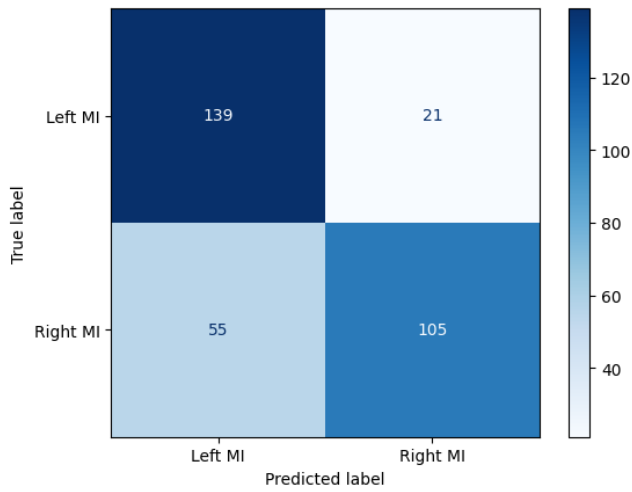


Рисунок 10. Матрица путаницы
(STFT+ CNN-2D + LSTM)

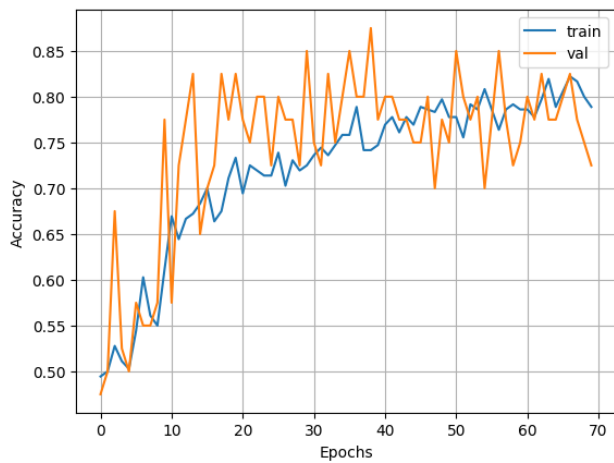


Рисунок 11. Точность (STFT+ CNN-2D + LSTM)

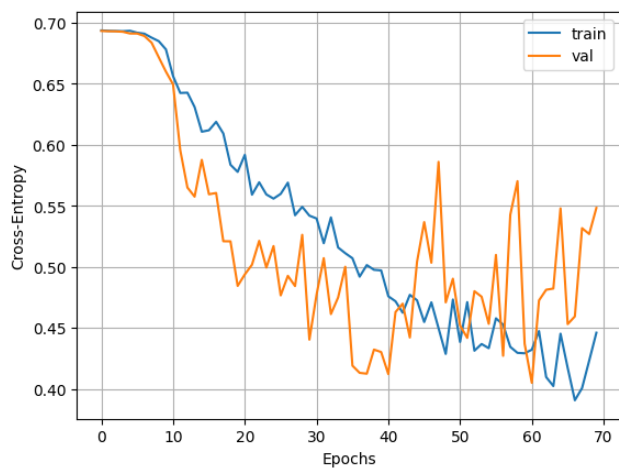


Рисунок 12. Перекрестная энтропия

Resultados:
 loss: [0.47591632604599, 0.5104565024375916, 0.4850081503391266, 0.473102867603302, 0.4563733637332916]
 accuracy: [0.778124988079071, 0.746874988079071, 0.768750011920929, 0.784375011920929, 0.784375011920929]
 kappa: [np.float64(0.525)]
 time_elapsed: 91.38204560699463

图 9. 总结果 (STFT+CNN-2D + LSTM)

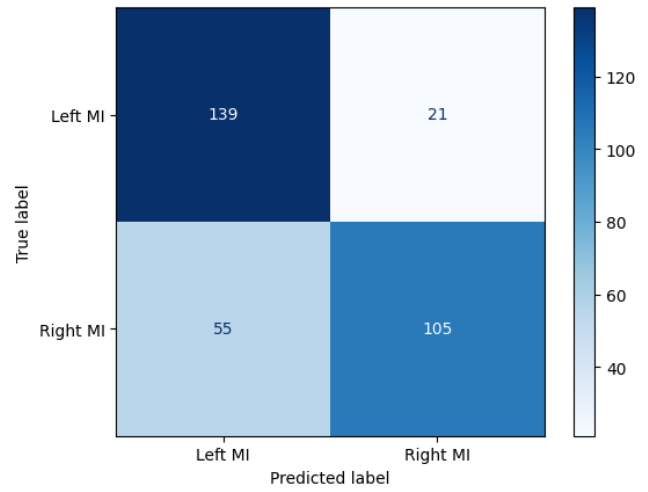


图 10. 混淆矩阵 (STFT+CNN-2D + LSTM)

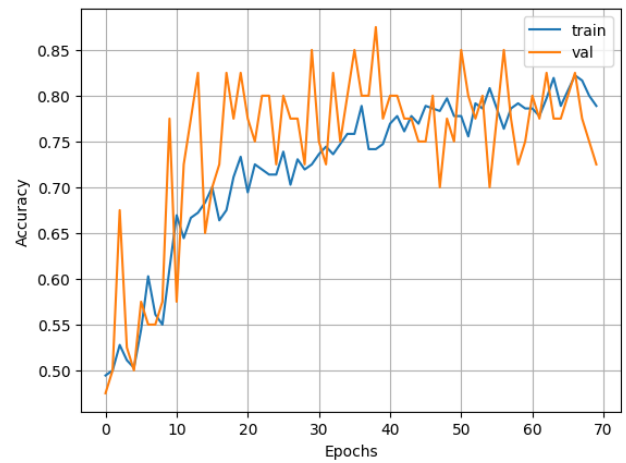


图 11. 准确性 (STFT+CNN-2D + LSTM)

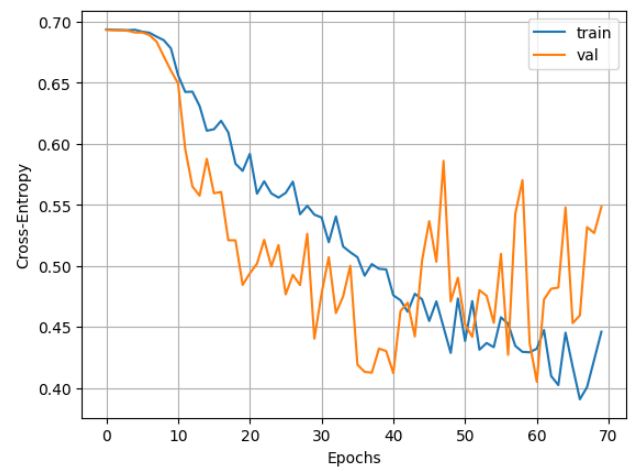


图 12. 交叉熵 (STFT+CNN-2D + LSTM)